

1. まえがき

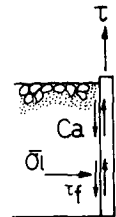
スライディングフォーム工法や即時脱型コンクリート製品においては、脱型時のフレッシュコンクリートと型枠の付着は、それらの施工性を左右し、硬化コンクリートの品質にも大きな影響をおよぼすと考えられる。また最近、コンクリート施工のロボット化が叫ばれているが、その場合、フレッシュコンクリートが、機械機器類の表面へ付着する特質は、施工上、阻害要因になり、付着の軽減をはかることは、その施工効率が高められると考えられる。しかしながら、フレッシュコンクリートの付着性に関する研究は、現在までに、極めて少なく、充分な解明が得られていない。

本研究は、前報¹⁾に引き続き、主として即時に脱型されるコンクリート施工の合理化をはかるため、フレッシュコンクリートと型枠表面、すなわち、金属固体表面との付着性状を明らかにする目的で、基礎的実験を行い、若干の考察を加えたものである。

2. フレッシュコンクリートの付着の概念

フレッシュコンクリートと型枠間の付着力は、脱型しようとする方向によって、2つに分類できる。その1つは、図1に示すようなコンクリートと型枠をせん断するように働く「せん断付着力」と、あと1つは、図2に示すようなコンクリート面に対して、垂直方向に型枠を引きはがすように働く「はく離付着力」であると考えられる。これらの応力関係は、図3の①線に示すように、付着力成分と摩擦力成分を合算したものと考えられ、次式のように表わされる。

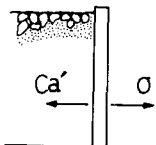
$$T = Ca + T_f = Ca + f(G) \quad (1)$$



ここで T : 引抜き応力 ($T \geq 0$), Ca : せん断付着力, T_f : 摩擦力, G : 型枠に作用する垂直応力, 図1 せん断付着力、すなわち、側圧。

図3の②線のように直線関係と考えると、次式のようにクーロンと同じ式となる。

$$T = Ca + \mu O_p \quad (2)$$



ここで、 μ : フレッシュコンクリートと型枠の摩擦係数 ($= \tan \theta$)

はく離付着力 Ca' で表わすと、(2)式は次式となる。

$$T = \mu Ca' + \mu O_p = \mu (Ca' + O_p) \quad (3)$$

3. 実験概要

はく離付着力を求めるため、図5に示すようなはく離付着力試験装置を用いた。これは、鋼製で $15 \times 12 \text{ cm}^2$ の容器中に試料をてん充し、その表面上に、鋼製円板を置きそれを一定の力で圧着した後、垂直方向に 1 mm/sec の速度で引き上げた時の最大はく離力を実測した。圧着圧 $Q = 0.2 \sim 20 \text{ kg/cm}^2$ の範囲である。

次に、フレッシュコンクリートと型枠間の引抜き力および型枠に作用する側圧を実測するため、図4に示す型枠引抜き試験装置を用いた。型枠は鋼製で、断面が $20 \times 40 \text{ cm}$ 最大打設高が 100 cm の寸法である。型枠引抜き速度は 1 mm/sec 、打設高は $30, 60, 100 \text{ cm}$ とし、打設直後および打設60分後の最大引抜き力 P を求めた。側圧は底面から $10, 30, 50 \text{ cm}$ の位置において圧力計を用い、打設後5時間まで、連続測定した。

コンクリートの配合は表1に示すとおりである。使用材料はセメントが普通セメント、細骨材は川砂、粗骨材は碎石を用いた。

図2 はく離付着

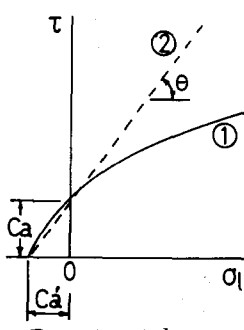
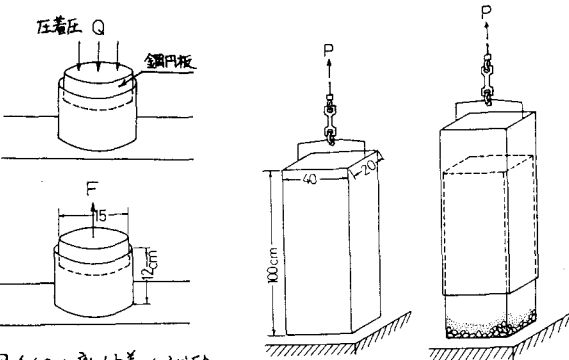
図3 引抜き応力 T と側圧 O_p の概念図

表1 配合

種別	配合名	目標スランプ(cm)	W/C(%)	S/a(%)	S/C	W(kg/m³)
コンクリート	50WP	10	50	44	—	200
	50DP	4				185
	40WP	10	40	—	2.0	200
	40DP	4				185
モルタル	50MP	—	50	—	—	345



4. 実験結果および考察

はく離付着力試験における圧着圧 Q とはく離付着力 C_a' の関係は、図6に示すとおりである。ここで、はく離付着力 C_a' はひきはなし力 F /鋼円板(付着板)の面積。圧着圧が大きい程、 C_a' は大きくなり、 $Q=20 \text{ kg/cm}^2$ の場合には、図7に示すような付着板への試料の残留現象がみられた。また、コンクリートよりもモルタルの方が、 C_a' は大きくなり、粒子径が小さい程 C_a' は増大すると考えられる。

次に、型枠引抜き試験による引抜き応力では、引抜き力 P を接触面積で除して求めた。側圧試験から、その分布を求め、これより平均側圧 T を計算した。引抜き応力と平均側圧 T の関係は、打設直後の場合が図8に、打設60分後の場合が図9に示すと



図7 残留現象

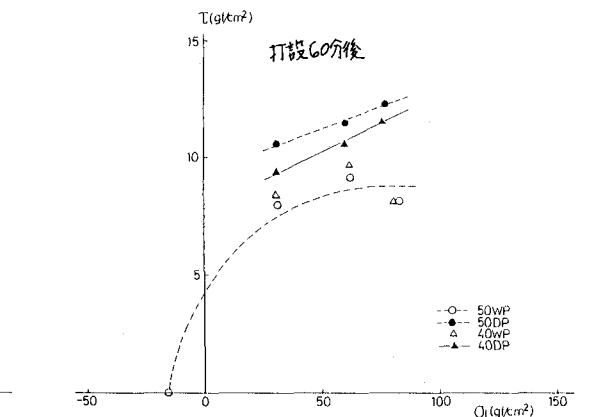


図8打設直後の引抜き応力と平均側圧 T の関係ありである。これらの図中には、圧着圧 $Q=0.2 \text{ kg/cm}^2$ の場合ははく離付着力 C_a' をプロットした。打設直後と打設60分後の引抜き応力ではほぼ同じで、 $7 \sim 14 \text{ kg/cm}^2$ の範囲を示した。また、単位水量が多いもの程、 T は大きくなつた。50WPについて求めた T ～ Q 関係は、(3)式のような直線関係は認められなかつた。

謝辞：本研究は、東京都立大学 村田二郎教授の御指導の下に行ったもので、実験には本校卒業生、松井、松山両君の協力を得た。ここに深謝致し候。本研究費の一部は、昭和56年度科学的研究費によつたことを付記し感謝する次第である。

参考文献、岡本：スライディングフォーム工法に用いるコンクリートのレオロジー特性に関する研究、第36回年次講演、1981